

منابع آب و طراحان سازه هیدرولیکی استفاده شوند.

واژه های کلیدی: تلفات انتقال، رودخانه های فصلی، معادله های همبستگی، حوزه آبخیز قره قوم و حجم جريان بالادست.

#### مقدمة

کشور ما از لحاظ شرایط آب و هوایی در زمرة مناطق خشک طبقه بندی می شود. در رودخانه های مناطق خشک و نیمه خشک، جريان آب سطحی به طور دائمی برقرار نمی باشد و اغلب به دنبال بارندگی های فصلی، جريان سیلابی رخ می دهد. به همین علت، بستر رودخانه پیش از سیلاب خشک است و خاک ناحیه زیرین آن در شرایط غیر اشباع قرار دارد. بنابراین، زمانی که در رودخانه های مناطق خشک، سیلابی رخ می دهد، حجم جريان با حرکت به سمت پایین دست رودخانه در اثر نفوذ به ناحیه غیر اشباع کاهش می یابد، که این کاهش حجم، تلفات انتقال نامیده می شود. بخشی از این تلفات صرف اشباع نمودن سواحل رودخانه می گردد، مقداری از آن نیز به رطوبت خاک اضافه می شود و قسمتی از آن منجر به تغذیه آب زیرزمینی می گردد. بخش کوچکی از تلفات انتقال نیز شامل تبخیر از سطح رودخانه است. از آنجا که تلفات انتقال باعث کاهش حجم سیلاب می گردد، لازم است تا روابط مناسبی برای محاسبه تلفات انتقال توسعه یابد. همچنین، برآورد تلفات انتقال منجر به برآورد مناسبی از میزان نفوذ و توانمندی تغذیه آب های زیرزمینی از طریق رودخانه ها می گردد.

اگر چه اهمیت تلفات انتقال در مناطق خشک از سالیان دور مورد توجه بوده است، اما اطلاعات چندانی از فرآیند حاکم بر شکل گیری این تلفات در دست نیست [۱۱]. به علاوه، وجود این رودخانه ها در مناطق خشک و محروم که اغلب فاقد ایستگاه های اندازه گیری می باشند، برآورد تلفات انتقال در این مناطق را دشوار می نماید. در هر حال دیدگاه های متعدد و متفاوتی در تحلیل جريان و برآورد تلفات انتقال در رودخانه های خشک وجود دارد. کاتالدو و همکاران [۵]، جمع بندی مناسبی از این روش ها ارائه داده اند و آنها را در قالب شش روش مختلف طبقه بندی نموده اند که در ادامه به طور خلاصه به آنها اشاره می گردد.

- معادلات همبستگی ساده: در این روش حجم تلفات انتقال بر اساس یک معادله همبستگی بر حسب متغیرهای مستقل مؤثر بر تلفات انتقال بیان می گردد. سپس با استفاده از حجم جريان های

توسعه معادله های همبستگی برای برآورد تلفات انتقال در رودخانه های فصلی حوزه آبخیز قره قوم

ساناز بمبئی چی<sup>۱</sup>، سید محمود حسینی<sup>۲</sup> و بیژن قهرمان<sup>۳</sup>

تاریخ دریافت: ۸۹/۰۳/۱۲ تاریخ پذیرش: ۸۹/۰۸/۰۵

#### چکیده

در رودخانه های مناطق خشک، جريان آب سطحی به طور دائمی برقرار نمی باشد و محدود به دوره های زمانی کوتاه مدت می شود که پس از آن دوباره رودخانه خشک می گردد. لذا هنگام وقوع سیلاب، حجم جريان در پایین دست، به علت نفوذ به بستر رودخانه، کاهش می یابد، که این کاهش حجم، تلفات انتقال نامیده می شود. در این پژوهش سعی می شود تا با توسعه معادله های همبستگی برای حوزه آبخیز قره قوم در خراسان رضوی، تلفات انتقال در رودخانه های این حوزه را برآورد نمود. برای این منظور، اطلاعات موجود در ایستگاه های آب سنگی و ویژگی های فیزیکی رودخانه های کشف رود، کارده و زشك در این حوزه استخراج، تحلیل و مورد استفاده قرار گرفتند. به منظور تولید معادله های همبستگی، تلفات انتقال در کیلومتر اول از ابتدای هر بازه به عنوان متغیر وابسته معادله در نظر گرفته شد و چگونگی وابستگی آن به متغیرهای مستقل حجم جريان بالادست، زمان تداوم جريان، شاخص رطوبت پیشین، هدایت هیدرولیکی، شب و عرض رودخانه مورد آزمایش قرار گرفت. در نتیجه این پژوهش مشخص شد که مؤثرترین متغیر مستقل در برآورد تلفات انتقال، حجم جريان بالادست می باشد. سه معادله همبستگی (خطی و غیر خطی) برای پیش بینی تلفات انتقال بر حسب حجم جريان بالادست و عرض رودخانه، از میان روابط موجود توصیه می شوند. با استفاده از این روابط می توان تلفات انتقال را در اتهای هر کیلومتر از مسیر رودخانه، با داشتن حجم جريان در آغاز آن کیلومتر، برآورد نمود. چنین روابطی می توانند توسط بهره برداران

۱- دانشجوی دکتری عمران (هیدرولیک)، دانشکده مهندسی، دانشگاه فردوسی مشهد

۲- نویسنده مسئول و دانشیار گروه عمران، دانشکده مهندسی، دانشگاه shosseini@Ferdowsi.um.ac.ir

۳- استاد گروه مهندسی آب، دانشکده کشاورزی، دانشگاه فردوسی مشهد

آبنمودهای حاصل در نقاط مختلف پایین دست، میران تلفات انتقال مشخص می‌گردد. ال-هامس و ریچاردز [۶]، و شارما و مورتی [۱۴] از روش روندیابی برای برآورد تلفات انتقال استفاده نموده‌اند.

- روش بیلان آب شناختی: در این روش با استفاده از معادله بیلان، تغییرات در ذخیره یک بازه به صورت جمع جبری جریان ورودی، جریان خروجی، تبخیر، جریان عرضی، ذخیره سواحل و... در نظر گرفته می‌شود و پس از برآورد هر یک از این اجزاء به طور جداگانه، میزان تلفات انتقال از معادله بیلان مشخص می‌گردد. گودریچ و همکاران (۲۰۰۴)، و عبدالرزاق و سورمن (۱۹۹۴) با استفاده از این روش به برآورد تلفات انتقال پرداخته‌اند [به نقل از ۵]. بررسی مطالعات پیشین نشان می‌دهد که بیشتر پژوهش‌های انجام شده در زمینه تلفات انتقال در نواحی خشک کشورهای استرالیا، امریکا، آفریقا، عربستان و هندوستان انجام شده است. بنابراین انجام چنین پژوهش‌هایی در ایران ضروری به نظر می‌رسد.

هدف از این پژوهش، یافتن روشی ساده و قابل کاربرد برای برآورد تلفات انتقال در رودخانه‌های فصلی حوزه آبخیز قره قوم در خراسان رضوی از طریق توسعه مدل‌های همبستگی برپایه مشاهدات میدانی می‌باشد.

## مواد و روش‌ها

### ۱. روش مطالعه

در این پژوهش از روش معادلات همبستگی ساده برای برآورد تلفات انتقال استفاده می‌شود. در این روش، تأثیر یک یا چند متغیر مستقل بر روی یک متغیر وابسته مورد بررسی قرار می‌گیرد. به طور کلی تلفات انتقال و گاهی حجم جریان خروجی به عنوان متغیر وابسته مدل‌سازی می‌شوند و متغیرهایی که به نظر می‌رسد بر روی تلفات انتقال مؤثر هستند به عنوان متغیرهای مستقل در نظر گرفته می‌شوند. سپس با استفاده از حجم جریان‌های ورودی و خروجی مربوط به تعدادی از رخدادهای پیشین (که متعلق به تعدادی از بازه‌های رودخانه‌ها می‌باشند)، به همراه ویژگی‌های فیزیکی هر یک بازه، در یک مدل آماری ضرایب معادله همبستگی برآورد می‌شوند. کاتالدو و همکاران [۴]، لین و همکاران [۹]، والترز [۱۵]، شارما و مورتی [۱۲]، با استفاده از تحلیل همبستگی روابط قابل توجهی بین تلفات انتقال و حجم جریان ورودی به دست آورده‌اند.

- معادله‌های دیفرانسیل ساده شده: این معادلات برای توصیف تغییرات در ذخیره مورد استفاده قرار می‌گیرند. جوردن [۸]، یک معادله دیفرانسیل مرتبه اول برای توصیف تلفات انتقال ارائه نموده که قادر است تلفات انتقال در مایل اول بازه موردنظر از رودخانه را به صورت تابعی از جریان در ایستگاه بالا دست آن برآورد نماید. پیلز (۱۹۸۱) از معادلات دیفرانسیل بر اساس معادله پیوستگی (تغییر در ذخیره در واحد زمان برابر است با اختلاف بین جریان ورودی و خروجی) استفاده نموده است [به نقل از ۵].

- روش ترکیب معادلات دیفرانسیل و همبستگی: این روش فرآیندهای فیزیکی مربوط به تلفات انتقال را در نظر می‌گیرد تا به مطالعه شکل کلی معادلات پردازد و سپس با استفاده از همبستگی (یا بهینه‌سازی)، معادلات مخصوص به منطقه مورد مطالعه را به دست می‌آورد. پژوهشگرانی که این روش را به کار برده‌اند در واقع پژوهش خود را برپایه کار لین و همکاران [۱۰] [بنا نهاده‌اند، که از این بین علاوه بر کارهای انجام شده توسط لین در دهه ۱۹۸۰ می‌توان به پژوهش انجام شده توسط شارما و مورتی [۱۳] نیز اشاره نمود.

- روش مشاهدات و آزمایش‌های میدانی: در این روش با انجام آزمایش‌های میدانی، تلفات انتقال برآورد می‌شود. لذا به تجهیزات آزمایش میدانی نیاز دارد و به نواحی کوچک محدود می‌شود. روابط به دست آمده از این روش، خاص ناحیه مورد آزمایش است. ارزش پژوهش‌های انجام شده توسط این روش در تشخیص منابع تلفات انتقال می‌باشد که نیاز به مدل‌سازی دقیق تر تلفات انتقال را مشخص می‌نماید. از جمله مطالعات انجام شده توسط این روش می‌توان به کار انجام شده توسط هوگرو سامی [۷] [اشارة نمود. آنها مدل خاصی برای تلفات انتقال ارائه نداده‌اند و تنها با تفاصل حجم‌های جریان ورودی و خروجی اندازه‌گیری شده، تلفات انتقال را برآورد نموده‌اند. همچنین، اذعان داشتند که تلفات انتقال از بستر رودخانه‌های فصلی در نواحی خشک و نیمه خشک می‌تواند بخش بزرگی از مقدار کل رواناب تولید شده در بالا دست به شمار آید، به طوری که ۷۵٪ جریان بالا دست در اولین رخداد و ۲۲٪ در رخداد دوم به درون مصالح رسوبی نفوذ می‌کند.]

- روش روندیابی جریان: در این روش، روش‌های مرسوم روندیابی جریان (آب شناختی و یا هیدرولیکی) با معادله‌ای برای منظور نمودن تلفات نفوذ به بستر رودخانه ترکیب می‌شوند. سپس با روندیابی یک سیلان در طول بازه‌ای از رودخانه و بررسی

$$V_{\text{loss}} = a + b_1 x_1 + b_2 x_2 + \dots + b_n x_n \quad (1)$$

و

$$V_{\text{loss}} = a_1 x_1^{b_1} x_2^{b_2} \dots x_n^{b_n} \quad (2)$$

که در این روابط،  $V_{\text{loss}}$  حجم تلفات انتقال،  $x_n$ ها ( $n=1,2,\dots$ ) متغیرهای مستقلی هستند که انتظار می‌رود در برآورد تلفات انتقال

شیب رودخانه (S) می‌تواند بر روی عمق، دوام و سطح اب گرفتگی جریان تأثیر گذارد. همچنین می‌تواند بیانگر اندازه مصالح بستر کanal باشد، به این صورت که به طور عام در شیب‌های تندر مصالح درشت تر و در شیب‌های ملایم مصالح ریزتر وجود دارند. از آن جا که داده‌های تلفات انتقال از تعدادی بازه رودخانه با طول‌های متفاوت جمع آوری می‌شوند، نمی‌توان از شیب‌های تلفات را پیش از استاندارد کردن وارد یک تحلیل همبستگی نمود زیرا هر چه طول بازه بیشتر باشد، به طور طبیعی میزان تلفات انتقال بیشتر خواهد بود. لذا باید به گونه‌ای داده‌های تلفات را از طول بازه مستقل نمود. به علاوه کاهش حجم جریان در طول بازه رودخانه نیز غیر خطی است، یعنی نرخ تلفات در اوایل طول بازه بیشتر از اواخر آن خواهد بود. بنابراین نمی‌توان با تقسیم حجم کل تلفات بر طول بازه، آن را در واحد طول به صورت یکنواخت بیان نمود. یک روش برای استاندارد نمودن داده‌ها، محاسبه تلفات انتقال برای کیلومتر اول بازه رودخانه می‌باشد که با توجه به رابطه زیر محاسبه می‌گردد:

$$V_1 = V_{up} \left[ 1 - \left( \frac{V_x}{V_{up}} \right)^{\frac{1}{x}} \right] \quad (4)$$

که در این رابطه،  $V_1$  تلفات انتقال در کیلومتر اول،  $V_{up}$  حجم جریان در ایستگاه بالا دست و  $V_x$  حجم جریان در فاصله  $x$  از ایستگاه بالا دست می‌باشد. با استفاده از این رابطه می‌توان تلفات انتقال برای هر کیلومتر از کanal را با محاسبه حجم جریان در ابتدای آن کیلومتر، که از تفاصل تلفات انتقال از حجم جریان در کیلومتر قبلی به دست می‌آید، برآورد نمود. بنابراین در تحلیل همبستگی، به جای  $V_{loss}$  در روابط (۱) و (۲) از  $V_1$  به عنوان متغیر وابسته استفاده می‌شود.

رابطه (۴) بر اساس معادله دیفرانسیل زیر به دست آمده است که نرخ تلفات در هر نقطه بین دو ایستگاه اندازه گیری را بر حسب حجم جریان در آن نقطه بیان می‌کند.

$$\frac{dV_x}{dx} = -kV_x \quad (5)$$

در این رابطه،  $x$  محور مسافت بین دو بازه است، که در جهت پایین دست مثبت می‌باشد،  $V_x$  حجم جریان در فاصله  $x$  و  $k$  یک عدد ثابت مثبت می‌باشد. از حل معادله (۵)، یکتابع توانی برای حجم جریان به دست می‌آید که جو در [۸] با توجه آن رابطه (۴) را به دست آورده است.

پیش از انجام تحلیل همبستگی لازم است تا ابتدا متغیرهای مستقل و وابسته را برآورد نمود. لذا در ادامه ابتدا به منطقه مورد مطالعه و اطلاعات جمع آوری شده برای این منظور اشاره می‌گردد و سپس نحوه انجام تحلیل همبستگی شرح داده می‌شود.

## ۲. ویژگی‌های منطقه مورد مطالعه

حوزه آبخیز قره قوم با وسعت ۴۴۱۶۵ کیلومتر مربع بین طول

مؤثر باشند و  $a_1$  و  $a_2$  ضرایب همبستگی می‌باشند. در ادامه نحوه برآورده هر یک از این متغیرها توصیف می‌گردد.

حجم جریان بالا دست ( $V_{up}$ ) عبارت از حجم جریان در ایستگاه بالا دست بازه موردنظر از رودخانه می‌باشد که با انتگرال گیری عددی از آبنمودهای ورودی بازه به ازای هر رخداد محاسبه گردید. حجم جریان بالا دست در واقع منبع تغذیه کننده برای تلفات انتقال می‌باشد، لذا به عنوان یکی از متغیرهای اصلی تأثیرگذار بر تلفات انتقال محسوب می‌شود.

شاخص رطوبت پیشین (AncI)<sup>۱</sup> به عنوان شاخصی از رطوبت پیشین بستر رودخانه به کار می‌رود. رطوبت پیشین رودخانه به ویژه در ابتدای سیلان بر نرخ نفوذ تأثیر می‌گذارد که می‌تواند توسط شاخص زیر بیان گردد [۱۵]:

$$AncI = 1 - 0.9^t \quad (3)$$

در این رابطه،  $t$  تعداد روزهای گذشته از سیلان قبلی در ایستگاه بالا دست می‌باشد. شاخص AncI بدون بعد بوده و در واقع بیانگر میزان توانایی خاک برای جذب آب می‌باشد. بدین صورت که هر چه مقدار AncI از صفر به یک نزدیک تر شود، توانایی خاک برای جذب آب بیشتر می‌گردد.

زمان تدوام جریان (D) در واقع بیانگر مدت زمانی است که سیلان در بازه موردنظر جریان دارد و در این فرصت تلفات انتقال رخ می‌دهد. در پژوهش حاضر، زمان پایه آبنمود جریان در ایستگاه بالا دست هر بازه به عنوان تدوام جریان در آن بازه منظور گردید. اگرچه دوام جریان در نقاط پایین دست متفاوت خواهد بود اما در هر صورت دوام جریان در هر یک از نقاط پایین دست تابعی از دوام جریان در ایستگاه بالا دست می‌باشد، لذا پیش بینی کننده مناسبی برای تحلیل همبستگی خواهد بود.

جنس مصالح بستر به طور مستقیم بر روی نرخ نفوذ و در نتیجه تلفات انتقال تأثیر می‌گذارد، پس باید به گونه‌ای در تحلیل همبستگی وارد شود. در این پژوهش برای وارد نمودن تأثیر جنس بستر از مفهوم هدایت هیدرولیکی اشباع مصالح بستر رودخانه (K)، که ارتباط مستقیمی با دانه بندی خاک و نرخ نفوذ آب به داخل خاک دارد، استفاده شد. گرچه این موضوع نیز قابل بحث است که در زمان شکل گیری سیلان به طور عملی یک هدایت هیدرولیکی مؤثر متفاوت با هدایت هیدرولیکی ساکن بستر شکل می‌گیرد.

عرض رودخانه (W) نیز مانند طول بازه رودخانه بر روی میزان تلفات انتقال تأثیر می‌گذارد. اما عرضی از رودخانه که در برگیرنده جریان است به ازای سیلان‌های مختلف و نیز در یک سیلان مشخص، در زمان‌های متفاوت از عبور سیلان متغیر خواهد بود. لذا برآورده عرض مرطوب کanal به طور کلی امکان پذیر نمی‌باشد. هدمن و اوسترکمپ (۱۹۸۲) عرض فعال کanal در شرایط متوسط را به عنوان شاخصی از عرض مرطوب کanal استفاده نموده اند [به نقل از ۱۵].

### آبخیز قره قوم در شکل (۱) نمایش داده شده است.

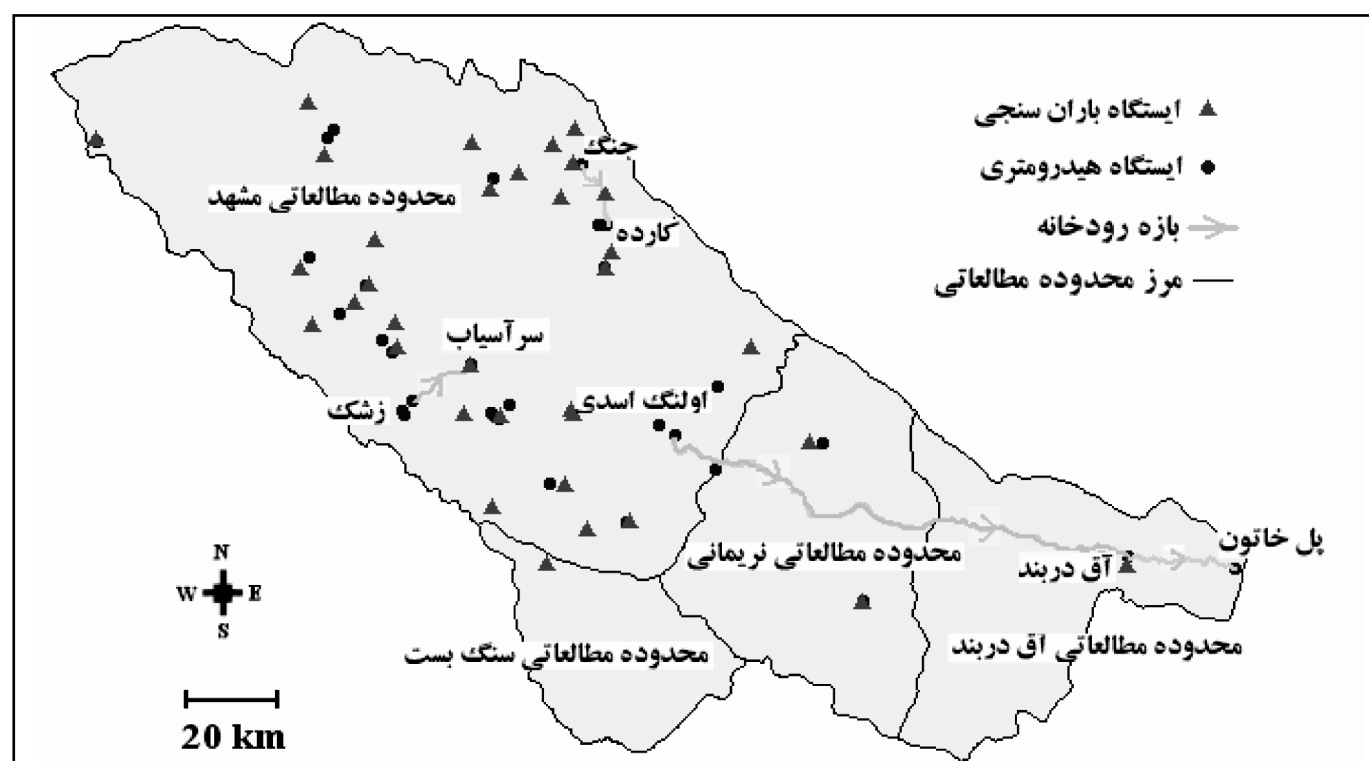
#### ۱۳- اطلاعات جمع آوری شده

اطلاعات ثبت شده مریبوط به بارندگی و سیلاب در زیر حوزه های قره قوم، به منظور دستیابی به رخدادهای رواناب مناسب برای تخمین تلفات انتقال، تحلیل گردید. رخدادهایی انتخاب شدند که در هر دو ایستگاه آب سنجی بالادست و پایین دست جریان داشته باشند و نیز داده های ثبت شده مریبوط به آنها برای رسم کامل آبنمودهای ورودی و خروجی بازه کافی باشند. با توجه به این شرایط، ۸۰ رخداد انتخاب شدند. اما نکته مهم دیگری که در برآورد تلفات انتقال در یک بازه باید مورد توجه قرار گیرد، جریان های عرضی و انشعبات رودخانه در آن بازه می باشند. بنابراین رخدادهایی که از بررسی توزیع بارندگی و رواناب های ثبت شده، مشخص شد که میزان تلفات انتقال در آنها به میزان قابل توجهی تحت تأثیر رواناب حاصل از سطح زهکشی بین ایستگاه های آب سنجی قرار دارند، از مجموعه رخدادها حذف شدند (در بخش ۴ به این موضوع پرداخته شده است). بدین ترتیب تعداد رخدادهای مورد استفاده در تحلیل همبستگی به ۶۰ رخداد رسید. در شکل (۲) چند نمونه از آبنمودهای ورودی و خروجی مریبوط به رخدادهای مورد استفاده در همبستگی ارائه شده اند.

به منظور محاسبه حجم جریان بالادست و پایین دست برای هر رخداد، از آبنمودهای جریان، انتگرال گیری شد. حجم تلفات انتقال نیز از تفاضل حجم جریان بالادست و پایین دست به دست آمد و توسط رابطه (۴) حجم تلفات انتقال برای کیلومتر اول محاسبه شد.

جغرافیایی ۵۷°۴۹' تا ۱۷°۵۲' و عرض شمالی ۳۴°۲۳' تا ۳۷°۵۲' واقع شده است. این حوزه توسط رودخانه های کش رو، جام رو، روس رو (که تقريباً به موازات هم از شمال غرب به طرف جنوب شرق امتداد داشته، به پایاب رودخانه هریروود که از کشور افغانستان در مرز پيش ربط وارد ايران می شود، می ريزند). و تعدادی رودخانه های کوچک تر (که در جهت جنوب غرب- شمال شرق جریان داشته، مستقیماً از مرز گذشته وارد دشت قره قوم در کشور تركمنستان می شوند)، زهکشی می شود. اقلیم اغلب نواحی حوزه قره قوم از نوع نیمه خشک تا خشک می باشد و میزان بارندگی حوزه از شمال غرب به جنوب شرق کاهش می يابد. اين حوزه مطابق شکل (۱) شامل محدوده های مطالعاتی مشهد، سنج بست، نريماني و آق دربند بر مبنای طبقه بندي شركت سهامي آب منطقه اي خراسان رضوي می باشد [۲].

رودخانه های مورد مطالعه در اين پژوهش، رودخانه های کش رو، کارده و زشك از حوزه آبخیز قره قوم می باشند. علت انتخاب اين رودخانه ها وجود دو ایستگاه آب سنجی بر روی هر يك از اين رودخانه ها می باشد، زيرا برای انجام يك تحليل همبستگي لازم است تا آبنمودهای مشاهداتي ورودي و خروجي بر روی يك بازه از رودخانه، مشخص باشند. با توجه به اين محدوديت، تنها چهار بازه در حوزه آبخیز قره قوم قابل بررسی می باشند که عبارت از بازه های اولنگ اسدی- آق دربند و آق دربند- پل خاتون از رودخانه کش رو، بازه جنگ- کارده از رودخانه کارده و بازه زشك- سرآسياب از رودخانه زشك می باشند. موقعیت اين بازه ها در حوزه

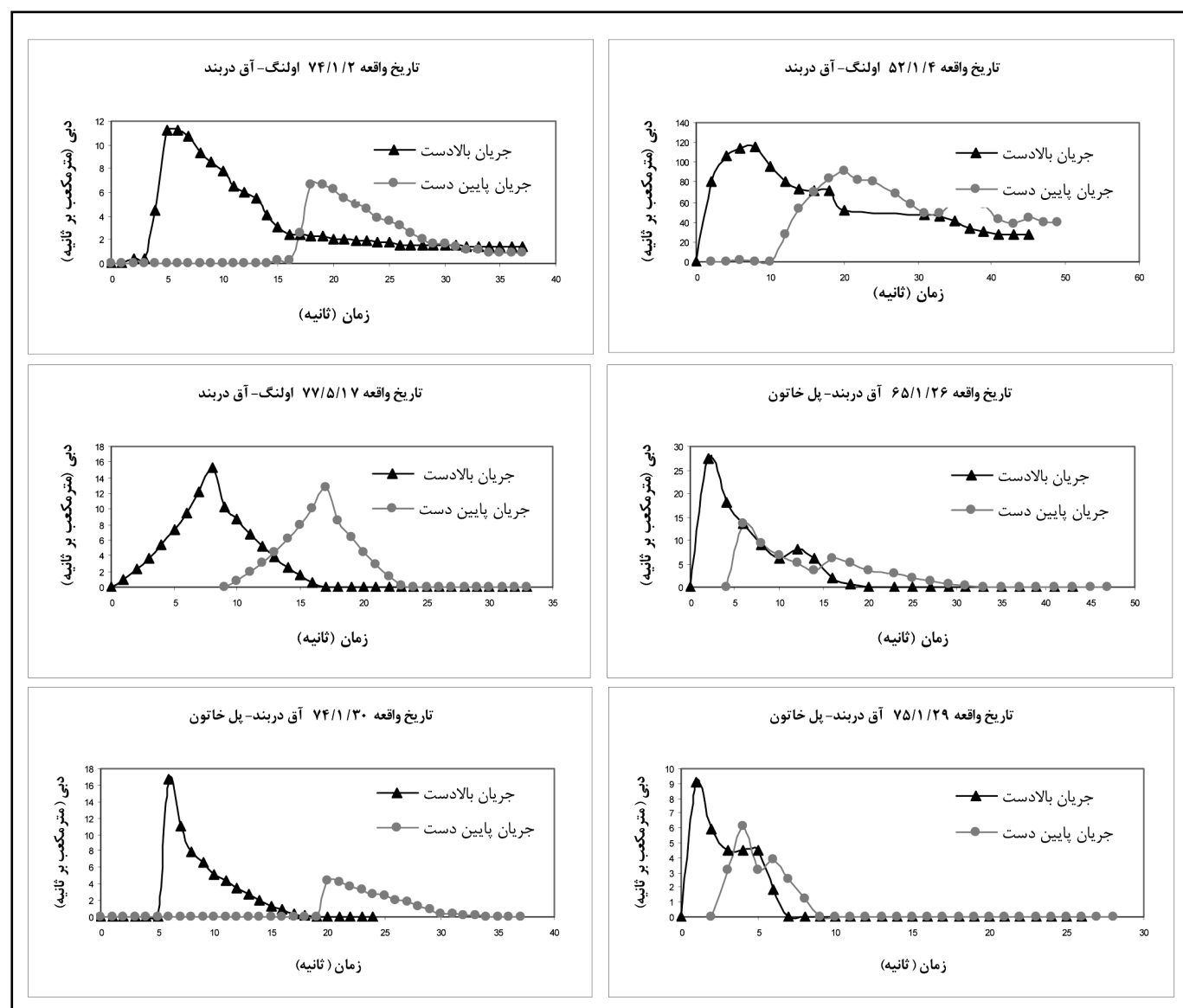


شکل ۱ - موقعیت محدوده های مطالعاتی و بازه رودخانه های مورد پژوهش در حوزه آبخیز قره قوم

می باشد که از طریق بازدید و اندازه گیری های میدانی و آنجام آزمایش های لازم به دست آمدند. از هر بازه از رودخانه ها با توجه به طول و تغییر ویژگی های آن چند نمونه (در رودخانه زشک ۷ نمونه، کارده ۹ و کشف رود ۱۲ نمونه) از مصالح بستر رودخانه برداشت گردید که در مجموع ۲۸ نمونه شدند. در آزمایشگاه با استفاده از آزمایش هدایت هیدرولیکی، به دو روش بار ثابت و بار افتان، هدایت هیدرولیکی برای تمام نمونه ها اندازه گیری شد و در نهایت متغیر هدایت هیدرولیکی هر بازه از میانگین مقادیر مربوط به نمونه های آن بازه به دست آمد. لازم به توضیح است که آزمایش بار ثابت برای نمونه های درشت دانه (بزرگتر از  $0.075$  میلی متر) و آزمایش بار افتان برای نمونه های ریز دانه (کوچکتر از  $0.075$  میلی متر) انجام شد، نمونه ها در استوانه های فلزی به قطر  $10$  و ارتفاع  $16/5$  سانتی متر با درصد تراکم محلی ساخته شدند. نحوه انجام این آزمایش ها مطابق مرجع [۱] می باشد. در اندازه گیری های آنجام این آزمایش ها مطابق مرجع [۱] می باشد.

زمان تدوام جریان نیز متغیر دیگری است که با بررسی آبنمودهای جریان محاسبه می گردد. همانطور که بیان شد در این پژوهش زمان پایه آبنمود در ایستگاه بالادست هر بازه به عنوان زمان تدوام جریان در نظر گرفته شد و به ازای هر رخداد ثبت گردید. همچنین، رطوبت پیشین کanal با توجه به تعداد روزهای گذشته از سیلان قبلی بر اساس رابطه (۳) برای هر رخداد و در تمام ایستگاه های موجود در دو انتهای بازه ها محاسبه شد. به طور قطع در انتخاب و تعریف این عامل عدم قطعیت هایی چون تأثیر شرایط آب و هوایی در فاصله زمانی بین دو بارش وجود دارد ولی منظور نمودن این عوامل و معروفی متغیرهای جدید (در برخی موارد غیر قابل دسترس) از نقطه نظر کاربردی چندان ضروری به نظر نمی رسد.

سایر اطلاعات مورد نیاز برای تحلیل همبستگی عبارت از هدایت هیدرولیکی، شب و عرض کanal رودخانه در بازه موردنظر می باشد. این متغیرها مربوط به ویژگی های فیزیکی رودخانه ها



شکل ۲- نمونه هایی از آبنمودهای سیل مشاهداتی

بازه به دست آمدند. شب رودخانه ها علاوه بر انداره گیری میدانی، با برداشت طول بازه از روی نقشه ۱/۵۰۰۰۰ و اختلاف ارتفاع بین

میدانی در محل نمونه برداری ها، شب و عرض رودخانه ها نیز برداشت گردیدند و مقادیر نهایی آنها نیز با میانگین گیری بر روی هر

جدول ۱ - ویژگی های فیزیکی بازه های مورد استفاده در معادله

نام بازه	مشخصات \ مشخصات	طول کیلومتر	شب متوسط	عرض متوسط متر	هدایت هیدرولیکی متوسط متر / ثانیه
زشک-سرآسیاب		۱۶/۴	۰/۰۲۲۵	۴/۶۹	$1/344 \times 10^{-5}$
جنگ-کارده		۱۷/۲	۰/۰۱۹۱	۷/۸	$3/551 \times 10^{-5}$
اولنگ-آق دربند		۱۱۴/۵	۰/۰۰۳۴	۲۲/۴۴	$4/623 \times 10^{-5}$
آق دربند-پل خاتون		۳۲/۲	۰/۰۰۵۱	۲۷/۵	$1/020 \times 10^{-4}$

جدول ۲ - مقدار متغیرهای مورد استفاده در همبستگی در برخی رخدادها (به عنوان نمونه)

V <sub>1</sub> غیر خطی مترمکعب/کیلومتر	V <sub>loss</sub> متوسط خطی مترمکعب/کیلومتر	V <sub>loss</sub> كل بازه مترمکعب	V <sub>down</sub> /V <sub>up</sub> (-)	V <sub>down</sub> مترمکعب	V <sub>up</sub> مترمکعب	D ساعت	AncI (-)	t*	بازه رخداد
۴۵۸۰/۹	۳۲۴۶/۴	۱۰۴۵۳۲/۵	۰/۴۶۸	۹۱۸۰۰	۱۹۶۳۳۲/۵	۱۲	۰/۷۱۸	۱۲	آق-پل*
۲۶۸۷۱۵/۶	۲۰۴۰۵۶/۵	۶۵۷۰۶۱۹/۷	۰/۵۴۹	۸۰۱۲۱۲۴	۱۴۵۸۲۷۴۳/۷	۳۵	۰/۴۶۹	۶	آق-پل
۱۷۷۳۵۰/۸	۱۱۴۲۹۲/۶	۳۶۸۰۲۲۲/۳	۰/۳۷۱	۲۱۷۴۲۵۶	۵۸۵۴۴۷۸/۳	۳۱	۰/۹۲۸	۲۵	آق-پل
۲۲۰۳۲/۶	۱۵۷۹۱/۹	۵۰۸۵۰۰	۰/۴۸	۴۶۹۸۹۰	۹۷۸۳۹۰	۳۵	۰/۹۸۹	۴۳	آق-پل
۱۶۰۰۰/۱	۱۰۱۹۰/۷	۳۲۸۱۴۰	۰/۳۶۱	۱۸۵۱۳۰	۵۱۳۲۷۰	۸	۰/۹۸۴	۳۹	آق-پل
۱۱۸۴۷/۳	۷۹۹۷/۱	۲۵۷۵۰۸	۰/۴۱۶	۱۸۳۴۹۲	۴۴۱۰۰	۲۲	۰/۸۵	۱۸	آق-پل
۱۴۱۴۴/۲	۱۲۴۱۱/۶	۳۹۹۶۵۴	۰/۷۵۹	۱۲۵۵۹۳۲	۱۶۵۵۵۸۶	۲۱	۰/۱	۱	آق-پل
۲۷۰۷۳/۱	۹۹۰۷	۱۱۳۴۳۴۶/۵	۰/۰۷۸	۹۶۴۰۸	۱۲۳۰۷۵۴/۵	۳۱	۱	۳۱۸	او-آق*
۱۹۷۳۵/۷	۱۱۵۰۹/۵	۱۳۱۷۸۳۲/۷	۰/۲۹۸	۵۶۰۳۲۲	۱۸۷۸۱۵۴/۷	۲۳	۰/۸۱۵	۱۶	او-آق
۱۴۰۹/۲	۱۱۹۹	۱۳۷۲۷۹/۶	۰/۷۱۵	۳۴۴۵۲۰	۴۸۱۷۹۹/۶	۱۶	۰/۵۲۲	۷	او-آق
۲۸۳۴/۲	۲۰۳۷/۷	۲۳۲۳۱۹	۰/۴۹۳	۲۲۶۷۱۰	۴۶۰۰۲۹	۲۹	۰/۹۲	۲۴	او-آق
۵۸۶۱/۲	۳۳۹۸/۸	۳۸۹۱۵۸	۰/۲۹۴	۱۶۲۱۲۶	۵۵۱۲۸۴	۲۲	۰/۴۶۹	۶	او-آق
۷۶۱	۶۸۲/۵	۱۱۷۳۹/۶	۰/۷۹	۴۴۰۸۲	۵۵۸۲۱/۶	۵	۰/۵۲۲	۷	ج-ک*
۷۷۹۶/۱	۶۰۱۶/۱	۱۰۳۴۷۶/۱	۰/۵۶	۱۳۱۶۵۲	۲۳۵۱۲۸/۱	۱۳	۰/۴۱	۵	ج-ک
۷۴۵۴/۶	۴۸۵۳/۹	۸۳۴۸۷/۳	۰/۳۶۹	۴۸۷۲۶	۱۳۲۲۱۳/۳	۵	۰/۹۲	۲۴	ج-ک
۳۳۷۲۶/۱	۲۲۶۸۱/۸	۳۹۰۱۲۷/۱	۰/۴	۲۶۰۲۸۰	۶۵۰۴۰۷/۱	۶	۰/۹۹۶	۵۳	ج-ک
۱۵۷۲۰/۶	۱۱۹۸۵/۳	۲۰۶۱۴۷/۳	۰/۵۴۴	۲۴۶۰۲۴	۴۵۲۱۷۱/۳	۵	۰/۹۹۹	۹۶	ج-ک
۵۶۴۰/۹	۵۲۶۶/۶	۸۶۳۷۲/۷	۰/۸۶۲	۵۴۰۹۰۰	۶۲۷۲۷۲/۷	۱۶	۰/۹۹۹	۸۷	ز-س*

\*: تعداد روزهای گذشته از سیلان قلی

خ: منظور از آق-پل: بازه آق دربند-پل خاتون، او-آق: بازه اولنگ اسدی-آق دربند، ج-ک: بازه جنگ-کارده و ز-س: بازه زشک-سرآسیاب می باشند.

تغییرات آنها از  $V_{up}$  کمتر است. K و W در هر بازه تابت هستند و انتظار می رود ضریب تغییرات کمتری داشته باشند. به عنوان مثال هدایت هیدرولیکی در یک منطقه ممکن است تغییرات چندانی نداشته باشد اما زیاد بودن نسبی ضریب تغییرات S به دلیل تغییر قابل ملاحظه شیب از دو رودخانه زشك و کاردہ در مناطق کوهستانی نسبت به دو بازه رودخانه کشف رود، که در دشت واقع شده اند، می باشد. به طوری که مطابق جدول (۱) حداقل شیب (مربوط به زشك) حدوداً  $6/5$  برابر شیب حداقل (مربوط به بازه اولنگ)- آق در بنده از کشف رود است.

۴. بررسی چگونگی جریان های عرضی و انشعابات رودخانه ها یکی از نکات قابل توجه در توسعه روابط همبستگی برای برآورد تلفات انتقال در یک بازه، بررسی جریان های عرضی و انشعابات رودخانه در فاصله بین ایستگاه های آب سنجی در دو انتهای بازه می باشد. باید بازه هایی برای تحلیل همبستگی انتخاب گردد که حتی الامکان انشعابی نداشته باشند؛ یا در صورت وجود، سهم ناچیزی از جریان را در برگیرند. بنابراین با بررسی توزیع بارندگی و رواناب های ثبت شده در فاصله بین ایستگاه های آب سنجی، رخدادهایی که میزان تلفات انتقال در آنها به میزان قابل توجهی تحت تأثیر رواناب حاصل از سطح زهکشی بین دو انتهای بازه قرار دارند، از مجموعه رخدادهای مورد استفاده در معادله حذف شدن. برای این منظور لازم بود تا میزان جریان ورودی توسط انشعاب ها و رواناب سطحی حاصل از بارندگی در طول بازه موردنظر به ازای رخدادهای مختلف تعیین گردد. در صورت وجود ایستگاه های آب سنجی بر روی انشعاب ها، با استفاده از اطلاعات سیالاب ثبت شده در ایستگاه ها، میزان جریان ورودی توسط آنها برداشت گردید. در غیر این صورت ابتدا با استفاده از نقشه های توپوگرافی، ویژگی های حوزه آبخیز انشعاب مریوطه (مانند مز حوزه و مساحت آن) تعیین گردید. سپس با استفاده از ایستگاه های باران سنجی اطراف این حوزه و یکی از روش های برآورد بارندگی در سطح حوزه [۳]، که در این پژوهش از روش چند ضلعی های تیسن استفاده شد، متوسط بارندگی حوزه برآورد شد و با در نظر گرفتن ضریب رواناب، ارتفاع رواناب محاسبه و در نهایت با ضرب نمودن آن در سطح حوزه، حجم رواناب حاصل محاسبه گردید. پس از بررسی بازه های مورد مطالعه در این پژوهش و محاسبه میزان جریان های عرضی ورودی و گاهی خروجی از این بازه ها، تعدادی از رخدادها که حجم جریان های عرضی در آنها قابل توجه بود از مجموعه رخدادها حذف گردیدند. منظور از خروجی، انشعابات محدود خروجی و آب اندک برداشت شده توسط

ایستگاه ها نیز برآورد گردیدند. شیب اندازه گیری شده و شیب محاسباتی به طور متوسط ۱۵٪ و حداقل ۹٪ با هم اختلاف داشتند، لذا میانگین آنها مورد استفاده قرار گرفت. مجموعه این اطلاعات به همراه طول بازه ها در جدول (۱) آمده اند.

متغیرهای مورد استفاده در معادله همبستگی شامل هدایت هیدرولیکی بستر (K)، عرض (W) و شیب رودخانه (S)، در طول هر بازه ثابت می باشند که در جدول (۲) مشخص شدند. سایر متغیرهای مستقل که عبارتند از حجم جریان  $V_{up}$ ، شاخص رطوبت پیشین کanal (AncI) و زمان تدوام جریان (D) و نیز متغیر وابسته یعنی تلفات انتقال در کیلومتر اول ( $V_1$ ) به ازای هر رخداد محاسبه شدند، که تعدادی از آنها به عنوان نمونه در جدول (۲) آمده اند.

لازم به ذکر است که در جدول (۲)،  $V_{loss}$  متوسط از تقسیم نمودن حجم کل تلفات بر طول بازه به دست آمده است و همانطور که در جدول مشاهده می شود با تلفات انتقال در کیلومتر اول ( $V_1$ ) متفاوت است. به عبارت دیگر، می توان گفت که با استفاده از  $V_1$ ، تلفات انتقال به طور غیر خطی در طول بازه تقسیم می شود و مقایسه مقادیر آن با  $V_{loss}$  متوسط نشان می دهد که مقدار آن در کیلومتر اول بازه از متوسط خطی تلفات انتقال بیشتر است. به عنوان مثال برای اولین رخداد جدول (۲) اگر حجم تلفات انتقال کل بازه بر طول بازه  $32/2$  کیلومتر) تقسیم گردد، حجم تلفات انتقال متوسط در هر کیلومتر  $3246/4$  مترمکعب می شود. اما اگر از رابطه (۴) تلفات انتقال به طور غیرخطی محاسبه شود، در کیلومتر اول بازه  $4580/85$  مترمکعب، در  $4369/58$  مترمکعب، ...، در کیلومتر دهم  $3703/98$  مترمکعب، در کیلومتر سوم  $2925/08$  مترمکعب، در کیلومتر سی ام  $2309/97$  مترمکعب و در کیلومتر آخر  $2203/44$  مترمکعب می گردد (این محاسبات تا  $10$  رقم اعشار انجام شده است).

برای مشخص نمودن میزان تغییرات متغیرهای مستقل در تمام رخدادهای مورد استفاده در تحلیل همبستگی، ضریب تغییرات آنها در جدول (۳) برای کل رخدادها ارائه شده است. مقایسه ضریب تغییرات این متغیرها نشان می دهد که حجم جریان بالادست دامنه تغییرات زیادی نسبت به سایر متغیرها دارد. این امر به این دلیل است که  $V_{up}$  با بارندگی تغییر می کند و حتی ممکن است که میزان تغییرات حجم جریان بالادست، به ازای رخدادهای مختلف در یک بازه خاص، بسیار بیشتر از تغییرات آن از یک بازه به دیگر باشد. متغیرهای D و AncI نیز به ازای هر بارندگی تغییر می کنند، اما میزان

جدول ۳- ضریب تغییرات متغیرهای مستقل مورد استفاده در تحلیل همبستگی در کل رخدادها

W	K	S	D	AncI	$V_{up}$	متغیر مستقل
۰/۳۹۶	۰/۴۳۸	۰/۷۷۶	۰/۵۷۹	۰/۷۲۹	۱/۶۴۸	ضریب تغییرات در کل رخدادها

اهمیت کمتری برخوردار می باشدند. ابتدا تحلیل همبستگی با ساختار خطی انجام شد که نتایج آن در روابط (۶) تا (۱۳) از جدول (۴) مشاهده می شود. رابطه (۶) با استفاده از هر شش متغیر مستقل به دست آمد. در روابط (۷) و (۸) از متغیرهای حجم جریان بالادست ، دوام جریان، هدایت هیدرولیکی و عرض کanal که بالاترین ضرایب همبستگی را دارند، استفاده شد. بار دیگر با استفاده از سه متغیر حجم جریان بالادست، دوام جریان و شاخص رطوبت پیشین کanal که بر اساس جدول (۳) ضریب تغییرات بالایی دارند، تحلیل همبستگی انجام شد. نتیجه این تحلیل نیز در رابطه (۹) از جدول (۴) ارائه شده است. همانطور که مشاهده می شود ضریب تبیین یا تعیین ( $R^2$ ) با کاهش متغیرها از شش به سه عدد تنها ۰/۰۲۱ کاهش می یابد. در روابط (۱۰)، (۱۱) و (۱۲) حالت های دیگری نیز مورد بررسی قرار گرفتند. در نهایت به دلیل همبستگی زیاد بین  $V_{up}$  و همچنین نتایج موجود در پژوهش های پیشین که روابط معنی داری بین این دو متغیر به دست آورده اند، تنها از حجم جریان بالادست در رابطه (۱۳) استفاده شد. با مراجعه به جدول (۴) مشاهده می شود که ضریب تبیین در رابطه (۱۳) تنها به میزان ۰/۰۲۲ از رابطه (۶) که تمام متغیرها را در بر می گیرد، کمتر است. بنابراین می توان نتیجه گرفت که مهترین

کشاورزان در بازه اولنگ- آق دربند می باشد که اولی بر اساس ایستگاه های آب سنگی موجود و دومی بر اساس بازدیدهای محلی برآورده شده اند. بدین ترتیب ۶۰ رخداد باقی ماندند که متوسط و حداقل نسبت حجم جریان های عرضی به حجم جریان بالادست بازه در این رخدادها به ترتیب عبارت از ۴ و ۱۹ درصد برای جریان های ورودی و ۰/۰۵٪ و ۰/۱٪ برای جریان های خروجی می باشند.

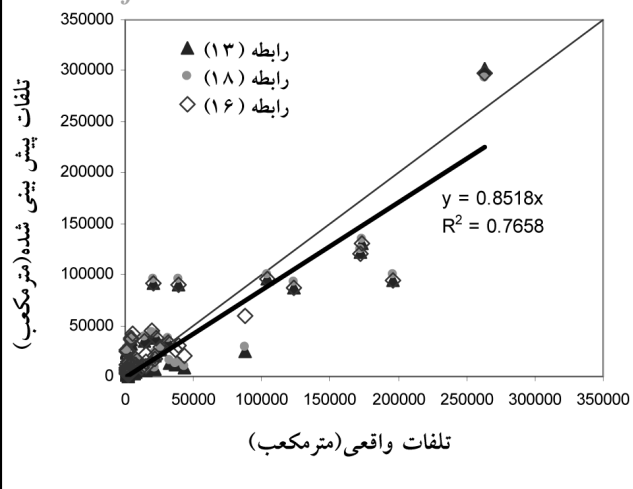
### بحث و نتیجه گیری

پس از برآورد تمام متغیرهای مستقل و وابسته، اقدام به توسعه معادله های همبستگی با دو ساختار خطی و غیرخطی (روابط ۱ و ۲) با استفاده از نرم افزار SYSTAT گردید. در تحلیل همبستگی متغیر وابسته، یعنی تلفات انتقال در کیلومتر اول ( $V_1$ )، بر حسب متغیرهای مستقل یاد شده مورد آزمایش قرار گرفت، که نتایج این تحلیل در جدول (۴) ارائه شده است. بررسی ضرایب همبستگی خطی ( $r$ ) بین  $V_1$  و متغیرهای مستقل نشان می دهد که تلفات انتقال بیشترین همبستگی را به ترتیب با حجم جریان بالادست ( $r=0/87$ )، دوام جریان ( $r=0/45$ ، هدایت هیدرولیکی ( $r=0/87$ )، عرض کanal ( $r=0/13$ ) دارد و سایر متغیرها از

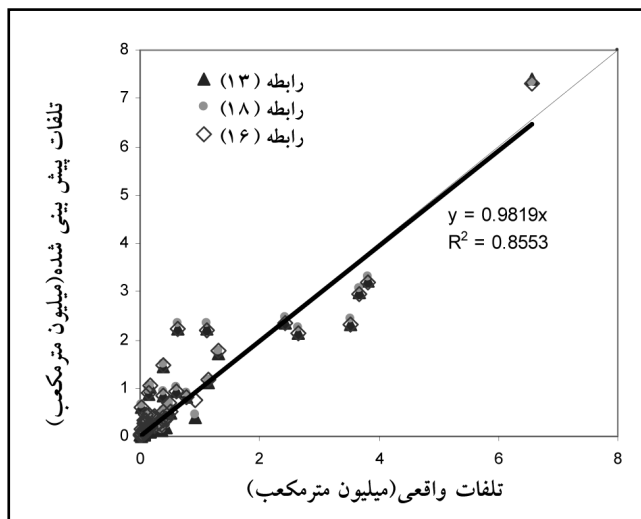
جدول ۴ - روابط همبستگی توسعه یافته برای پیش بینی تلفات انتقال

* $R^2$ تنظیمی*	$R^2$	روابط همبستگی	شماره رابطه
۰/۰۰۲	۰/۰۳۹	$V_1 = 0.0212V_{up} + 110.21D + 3775.56AncI + 3166527K + 653345.4S - 1497.64W$	۶
۰/۰۰۱	۰/۰۳۱	$V_1 = 0.0203V_{up} + 426.85D + 4565653K - 1944.59W$	۷
۰/۷۹۱	۰/۰۱۸	$V_1 = 0.0213V_{up} + 35.21D - 206772.3K$	۸
۰/۷۹۲	۰/۰۱۸	$V_1 = 0.0214V_{up} - 129.97D + 4457.88AncI$	۹
۰/۷۹۴	۰/۰۲۰	$V_1 = 0.0212V_{up} + 246.83D - 299.02W$	۱۰
۰/۷۹۶	۰/۰۱۹	$V_1 = 0.0218V_{up} - 129.23W$	۱۱
۰/۷۹۵	۰/۰۱۷	$V_1 = 0.0213V_{up} - 24.18D$	۱۲
۰/۷۹۹	۰/۰۱۷	$V_1 = 0.0212V_{up}$	۱۳
۰/۷۷۰	۰/۰۲۴	$V_1 = 0.052V_{up}^{0.971}D^{-0.142}AncI^{-0.087}$	۱۴
۰/۷۸۶	۰/۰۳۶	$V_1 = 0.239V_{up}D^{-0.054}W^{-0.678}$	۱۵
۰/۷۸۵	۰/۰۳۶	$V_1 = 0.241V_{up}^{0.992}W^{-0.699}$	۱۶
۰/۷۶۷	۰/۰۲۲	$V_1 = 0.073V_{up}^{0.971}D^{-0.220}$	۱۷
۰/۷۶۴	۰/۰۲۰	$V_1 = 0.063V_{up}^{0.932}$	۱۸

$R^2_{adj}$

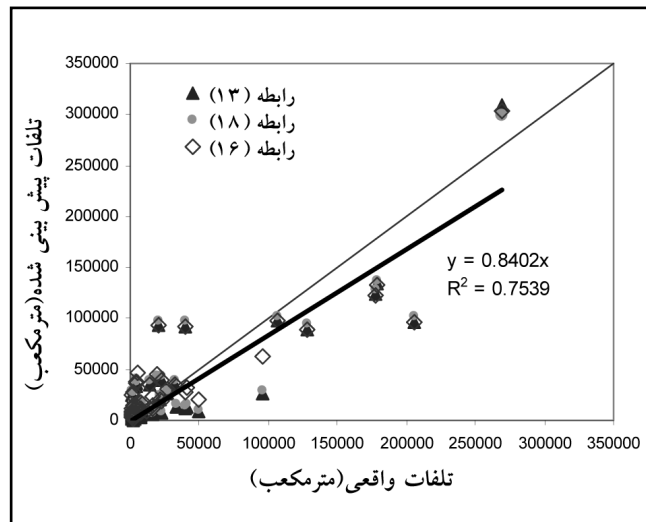


شکل ۴- بررسی روابط (۱۳)، (۱۸) و (۱۶) در کیلومتر دوم بازه

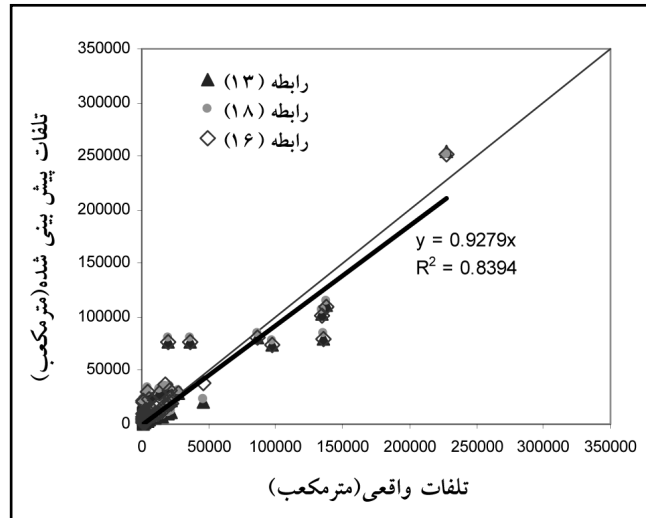


شکل ۶- بررسی روابط (۱۳)، (۱۸) و (۱۶) در برآورد حجم تلفات انتقال در کل بازه

به طوری که افزودن سایر متغیرها به معادله همبستگی، ضریب تبیین را تنها به میزان اندکی بهبود می بخشد. پژوهش های انجام شده در مناطق دیگر نیز حکایت از همبستگی زیاد بین حجم تلفات انتقال و حجم جریان بالادست دارد. همچنین از مقایسه معادلات خطی و غیرخطی ملاحظه می شود که معادلات غیرخطی نیز تا حدودی نتایج را بهتر پیش بینی می کنند. با توجه به مطالب بحث شده روابط (۱۳)، (۱۶) و (۱۸) از کاربرد بیشتری برخودار می باشند، لذا در شکل های (۳) تا (۶) به منظور ارزیابی عملکرد این روابط در فضای مستقل و نیز ارایه ای از کاربرد جامع تر آنها، تلفات انتقال پیش بینی شده توسط این روابط با تلفات انتقال واقعی مقایسه می گردد. گرچه تلفات واقعی در کل بازه از تفاضل حجم آبمودهای ورودی و خروجی مشاهداتی به دست می آید، اما منظور از تلفات واقعی در هر بازه (کیلومتر) میانی، تلفاتی است که از توزیع غیریکنواخت تلفات با توجه به رابطه (۴) حاصل می شود



شکل ۳- بررسی روابط (۱۳)، (۱۸) و (۱۶) در کیلومتر اول بازه (خط برآش داده شده مربوط به رابطه (۱۶) است)



شکل ۵- بررسی روابط (۱۳)، (۱۸) و (۱۶) در کیلومتر دهم بازه

عامل در پیش بینی تلفات انتقال، حجم جریان بالادست می باشد و حذف سایر متغیرها از روابط همبستگی، خطای چندانی در پیش بینی نتایج به وجود نمی آورد. این امر با توجه به ضریب تغییرات بالای  $V_{up}$ ، مطابق جدول (۳)، نیز قابل توجیه است.

در ادامه با استفاده از ساختار غیرخطی، تحلیل همبستگی انجام شد که نتایج آن در روابط (۱۴) تا (۱۸) ارائه شده اند. متغیرهای مورد استفاده در این روابط به ترتیب متناظر با روابط خطی (۹) تا (۱۳) می باشند. با توجه به جدول (۴) مشاهده می شود که ضریب تبیین در روابط (۱۴)، (۱۵)، (۱۶)، (۱۷) و (۱۸) به ترتیب به میزان ۰/۰۰۶، ۰/۰۱۶، ۰/۰۰۵، ۰/۰۰۴ و ۰/۰۰۳ نسبت به حالت خطی متناظر خود افزایش یافته است. در مورد  $R^2$  تنظیمی هم روند مشابهی ملاحظه می گردد.

مقایسه روابط جدول (۴) نشان می دهد که مؤثرترین عامل در پیش بینی تلفات انتقال، حجم جریان بالادست می باشد

در فضای ارزیابی متقاطع		در فضای مدل همبستگی اصلی		رابطه
واریانس باقیمانده های استاندارد	میانگین باقیمانده های استاندارد	واریانس باقیمانده های استاندارد	میانگین باقیمانده های استاندارد	
۱/۰ ۱۷۸۲	$۳/۰۶ \times ۱۰^{-۱۳}$	۱/۰ ۱۷۷۹	$-۱/۱۳ \times ۱۰^{-۱۷}$	۱۳
۱/۰ ۱۸۵	$-۱/۷۲ \times ۱۰^{-۱۲}$	۱/۰ ۱۵۸	$۷/۵۰ \times ۱۰^{-۱۲}$	۱۸
۱/۰۰۹	$۱/۶۵ \times ۱۰^{-۱۱}$	۱/۰۰۶	$۱/۶۳ \times ۱۰^{-۱۱}$	۱۶

باقیمانده استاندارد در هر نقطه عبارت از تفاضل مقدار باقیمانده در هر نقطه و میانگین باقیمانده ها، تقسیم بر جذر میانگین مربع باقیمانده ها (RMSE) می باشد. مقادیر مرتبط با باقیمانده های استاندارد هم در فضای مدل همبستگی اصلی و هم در فضای ارزیابی متقاطع در جدول (۵) ارایه شده اند. همان طور که مشاهده می شود مقادیر، نزدیکی لازم به مقدار صفر و یک را در هر دو حالت دارا می باشند که حکایت از ناریب بودن مدل ها دارد.

گرچه روابط بر اساس اطلاعات بازه های بدون جریان های عرضی قابل توجه به دست آمدند، ولی وجود جریان های عرضی میانی کاربرد روابط را محدود نمی کند. به عنوان مثال سه رخداد که در مجموعه رخدادهای مورد استفاده در تحلیل همبستگی وجود ندارند و در میانه بازه جریان عرضی مشخصی به آنها وارد می شود، در نظر گرفته شدند. ابتدا تلفات انتقال و حجم جریان در انتهای بازه های یک کیلومتری تا ابتدای محل ورود جریان عرضی با استفاده از رابطه خطی (۱۳) محاسبه گردید و سپس با افزودن حجم جریان عرضی میانی به حجم جریان در آن محل، دوباره محاسبات تلفات به سمت انتهای بازه ادامه داده شد. بدین ترتیب حجم تلفات انتقال در کل بازه  $۲۷۶۴۳۶/۸۳$ ،  $۳۳۳۳۰۶/۹۲$  و  $۱۱۶۰۴۳/۴$  مترمکعب به دست آمد که مقادیر تلفات واقعی در این رخدادها به ترتیب عبارت از  $۳۲۶۵۷۷/۲$ ،  $۳۲۶۳۲۱/۷$  و  $۲۶۶۳۲۱/۹$  و  $۱۸۱۴۸۰/۹$  می باشند.

### نتیجه گیری

پژوهش حاضر گزارشی از یک مجموعه فعالیت میدانی، آزمایشگاهی و مطالعاتی گسترده برای توسعه روابط همبستگی کاربردی به منظور برآورد تلفات انتقال در رودخانه های مناطق خشک می باشد. در این راستا، روابط همبستگی متعددی برای برآورد تلفات انتقال با توجه به اطلاعات میدانی توسعه داده شدند و مورد بررسی قرار گرفتند که از بین آنها سه رابطه (۱۳)، (۱۶) و (۱۸) برای برآورد تلفات انتقال در حوزه آبخیز قره قوم توصیه می گردند. از میان این روابط، رابطه (۱۶) بیشترین ضریب تبیین را دارا می باشد و پس از آن به ترتیب روابط (۱۸) و (۱۳) قرار دارند.

که مفهوم آن در قالب روابط (۴) و (۵) پیش تر توضیح داده شده است. شرح چگونگی این محاسبات نیز در بخش ۳ آمده است. تلفات در بازه (کیلومتر) اول، که در فرآیند توسعه روابط همبستگی مورد استفاده قرار گرفت، نیز از این رابطه محاسبه شده است. برای این منظور حجم تلفات انتقال در کیلومترهای اول، دوم و دهم بازه و نیز بر روی کل بازه در شکل های (۳) تا (۶) ترسیم شده اند. در این نمودارها خطوط برآش برای رابطه (۱۶) رسم شده اند تا عملکرد این رابطه در مقایسه با خط برآش کامل ۴۵ درجه روشن تر گردد. با توجه به شکل های (۳) تا (۶) مشاهده می گردد که با پیشروع محاسبات از کیلومتر اول به سمت کیلومترهای بعدی بازه، روابط توسعه یافته همبستگی، تلفات انتقال را بهتر برآورده اند. این بهبود در مقایسه شکل های (۴) و (۵) به طور کامل قابل ملاحظه است. به عبارت دیگر خطای این روابط در کیلومترهای اول بازه (با توجه به بیشتر بودن حجم تلفات انتقال) از سایر کیلومترها در طول بازه بیشتر است. همچنین، در محاسبه مجموع تلفات انتقال بر روی کل بازه، انطباق بیشتری بین روابط توسعه یافته وجود دارد (شکل ۶). لازم به تأکید است که در شکل (۶) تلفات بر روی کل بازه از مجموع تلفات تک تک کیلومترهای مربوط به آن بازه به دست آمده و در محاسبه تلفات هر کیلومتر نیز از روابط همبستگی استفاده شده است.

به منظور ارزیابی مدل های همبستگی ارایه شده ارزیابی متقاطع نیز انجام پذیرفت. ارزیابی متقاطع<sup>۱</sup> می تواند به روش های مختلف چون انتخاب درصدی از داده ها به منظور آزمایش مدل، و یا به صورت حذف نوبتی و تک تک داده ها، تولید مدل همبستگی جدید بدون این داده و محاسبه باقیمانده در نقطه حذف شده انجام پذیرد. اگرچه روش دوم حجم محاسباتی زیادی دارد ولی مزیت آن این است که به طور عملی کل داده های موجود در تولید مدل همبستگی اصلی مورد استفاده قرار می گیرند. در این مقاله از روش دوم استفاده گردید. در صورت ناریب بودن مدل تولید شده، می بایست میانگین باقیمانده های استاندارد آن برابر صفر و واریانس آنها برابر یک باشد.

1- Cross Validation

## تشکر و قدردانی

نویسنده‌گان این مقاله از همکاری کمیته محترم تحقیقات شرکت سهامی آب منطقه‌ای خراسان رضوی که حمایت مالی بخشی از این پروژه تحقیقاتی را بر عهده داشتند و نیز کارشناسان محترم آن شرکت که در انجام بعضی امور مربوط به بازدیدها و جمع آوری اطلاعات میدانی همکاری نمودند، کمال تشکر را دارند.

## منابع

- ۱- اطیابی، ا. (متجم) ۱۳۸۴. اصول مهندسی ژئوتکنیک: مکانیک خاک، نوشتة داس، ب.م.، چاپ سوم، نشر کتاب دانشگاهی تهران، ۶۲۶ صفحه.
- ۲- شرکت سهامی آب منطقه‌ای خراسان، معاونت مطالعات پایه، ۱۳۸۴. گزارش به هنگام سازی تلفیق مطالعات منابع آب حوزه آبخیز قره قوم، جلد ۲ (بررسی‌ها و مشخصات عمومی)، ۲۵۲ صفحه.
- ۳- علیزاده، ا. ۱۳۸۷. اصول هیدرولوژی کاربردی، انتشارات دانشگاه امام رضا (ع) مشهد، ۴۳۸ صفحه.
4. Cataldo, J.C., Behr, C., Montalto, F.A. and Pierce, R.J. 2010. Prediction of transmission losses in ephemeral streams, Western U.S.A., Journal of Open Hydrology. 4:19-34.
5. Cataldo, J.C., Behr, C. and Montalto, F.A. 2004. A summary of published reports of transmission losses in ephemeral streams in the U.S., A report to the National Center for Housing and Environment. 38pp.
6. El-Hames, A.S. and Richards, K.S. 1998. An integrated, physically based model for arid region flash flood prediction capable of simulating dynamic transmission loss. Hydrological Processes. 12: 1219-1232.
7. Hughes, D.A. and Sami, K. 1992. Transmission losses to alluvium and associated moisture dynamics in a semiarid ephemeral channel system in Southern Africa. Hydrological Processes. 6: 45-53.
8. Jordan, P.R. 1977. Streamflow transmission losses in Western Kansas. Journal of Hydraulics Division. ASCE. 105:905-919.
9. Lane, L.J., Diskin, M.H. and Renard, K.G. 1971. Input-output relationships for an ephemeral stream channel system. Journal of Hydrology. 13:

بررسی مقادیر برآورد شده توسط این روابط نشان می‌دهد که رابطه (۱۳) برای حجم‌های کوچک‌تر و رابطه (۱۸) برای حجم‌های بزرگ‌تر نتایج بهتری را ارائه می‌دهند. نکته قابل توجه دیگر آن است که روابط (۱۲) و (۱۸) می‌توانند تنها بر اساس حجم جریان بالادست، تلفات انتقال را پیش‌بینی کنند. لذا با استفاده از این دو رابطه می‌توان در غیاب ویژگی‌های فیزیکی رودخانه و تنها توسط حجم جریان بالادست و طول بازه رودخانه، تلفات انتقال را با دقت مناسبی برآورد نمود. اما برای کاربرد رابطه (۱۶) علاوه بر این دو متغیر، لازم است تا عرض رودخانه نیز تعیین گردد.

با استفاده از این روابط، برآورد تلفات انتقال برای هر کیلومتر از کanal با محاسبه حجم جریان در ابتدای آن کیلومتر، که از تفاضل تلفات انتقال از حجم جریان در کیلومتر قبلی به دست می‌آید، امکان پذیر می‌باشد. گرچه روابط بر اساس اطلاعات بازه‌های بدون جریان‌های عرضی قابل توجه به دست آمدند، ولی وجود جریان‌های عرضی میانی کاربرد روابط را محدود نمی‌کند چرا که می‌توان تلفات را تا ابتدای محل ورود جریان عرضی محاسبه نمود و سپس با افزودن حجم جریان عرضی میانی، دوباره محاسبات را به سمت انتهای بازه ادامه داد.

مقایسه روابط توسعه یافته همبستگی نشان می‌دهد که مؤثرترین عامل در پیش‌بینی تلفات انتقال، حجم جریان بالادست می‌باشد به طوری که افزودن سایر متغیرها به معادله همبستگی، ضریب تبیین را تنها به میزان اندکی بهبود می‌بخشد. پژوهش‌های انجام شده در مناطق دیگر نیز حکایت از همبستگی زیاد بین حجم تلفات انتقال و حجم جریان بالادست دارد. بنابراین می‌توان نتیجه گرفت که تنها با توجه به حجم جریان بالادست می‌توان تلفات انتقال را برآورد نمود، بدون آنکه دقت نتایج به میزان معنی داری تحت تأثیر قرار گیرد. اگرچه به نظر می‌رسد که استفاده از روابطی که بر اساس ویژگی‌های فیزیکی کanal باشند، معقول‌تر است؛ اما نتایج حاصل از مجموعه داده‌های موجود، حاکی از آن است که منتقل شدن هزینه اضافی برای اندازه‌گیری ویژگی‌های فیزیکی رودخانه قابل توجیه نمی‌باشد.

پیش‌بینی تلفات انتقال با استفاده از روابط همبستگی مربوط به منطقه مورد مطالعه می‌باشد، زیرا مدل‌ها تنها برای یک سری از رخدادها در یک محل یکسان تولید و استفاده شده‌اند. لذا از آنجا که این روابط، ویژه رودخانه‌های همان منطقه می‌باشند، تلفات انتقال در مناطق دیگر را نمی‌تواند پیش‌بینی کنند. در این پژوهش نیز به علت کمبود اطلاعات، تنها داده‌های مربوط به چهار بازه از سه رودخانه کشف‌رود، کارده و زشک در حوزه آبخیز قره قوم در یک تحلیل همبستگی مورد استفاده قرار گرفتند. بنابراین روابط همبستگی توسعه یافته در این پژوهش، خاص رودخانه‌های حوزه آبخیز قره قوم می‌باشند. اما در صورت تکمیل اطلاعات در آینده، می‌توان روابط همبستگی مشابهی را برای سایر حوزه‌های منطقه خراسان رضوی توسعه داد که دامنه تغییرات وسیع تری از عامل‌های مدنظر قرار دهند.

13. Sharma, K.D. and Murthy, J.S.R. 1994. Estimating transmission losses in an arid region. Journal of Arid Environments. 26: 209-219.
14. Sharma, K.D. and Murthy, J.S.R. 1995. Hydrologic routing of flow in arid ephemeral channels. Journal of Hydraulic Engineering. 121(6):466-471.
15. Walters, M.O. 1990. Transmission losses in arid region. Journal of Hydraulic Engineering. 116(1): 129-138.
- 22-40.
10. Lane, L.J., Ferreira V.J. and Shirley, E.D. 1980. Estimating transmission losses in ephemeral stream channels. Hydrology and Water Resources in Arizona and the South West, Proc. 1980 meeting Arizona Section, A. W. R. A and Hydrology Section Arizona Nevada Academy of Science. 193-202.
11. Lange, J. 2005. Dynamics of transmission losses in a large arid stream channel. Journal of Hydrology. 306: 112-126.
12. Sharma, K.D. and Murthy, J.S.R. 1994. Estimating transmission losses in an arid region-A realistic approach. Journal of Arid